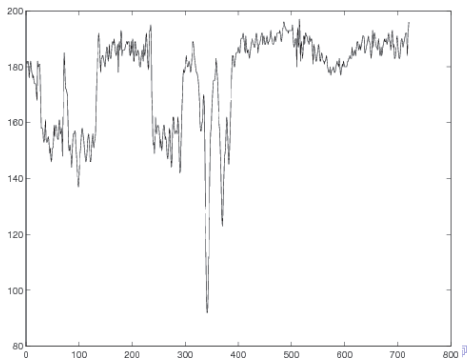
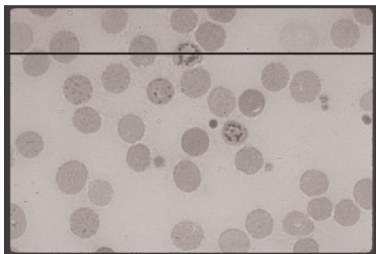


# Filtrage

Marie-Odile Berger, INRIA Nancy Grand Est

# La réalité d'une image numérique



# Pourquoi restaurer/filtrer/améliorer une image?

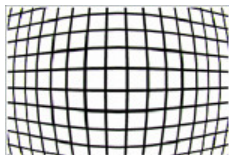
- Améliorer la qualité de l'image pour la rendre mieux interprétable
- A quoi est dû le bruit?
  - problème d'acquisition: flou de bouger, manque de lumière, perturbations magnétiques,
  - problème de quantification, distorsion de l'optique,
  - raisons extérieures: poussières sur l'objectif, rayure des films

# La correction des distorsions

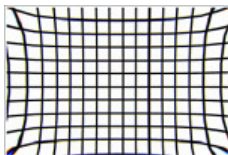
Origine des distorsions:

- lentilles non alignées, non positionnées perpendiculairement à l'axe principal → distorsion tangentielle
- lentilles non minces ou défauts de courbure → distorsions radiales.

le modèle sténopé n'est plus valable.



coussinet



barillet



# Prise en compte des distorsions

Pour des objectifs d'assez bonne qualité, la modélisation des distorsions radiales suffit souvent.

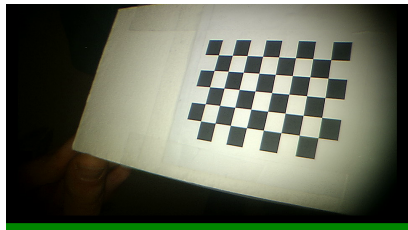
→ on modélise la distorsion par une fonction analytique symétrique par rapport au centre optique.

Soit  $(u_p, v_p)$  le projeté du point sur l'image avec le modèle de projection centrale. Modèle de distorsion radiale:

$$\begin{aligned}u &= u_p + (u_p - u_0)(K_1 r^2 + K_2 r^4 \dots) \\v &= v_p + (v_p - v_0)(K_3 r^2 + K_4 r^4 \dots)\end{aligned}$$

où  $r = \sqrt{(u_p - u_0)^2 + (v_p - v_0)^2}$ .

Les paramètres  $K_i$  sont calculés grâce à l'observation d'une mire



# Dégradations courantes de l'images

**bruit:** information parasite s'ajoutant de façon aléatoire à la scène.  
particulièrement visible dans:

- Les zones où le rapport signal/bruit est faible (ex zones peu éclairées)
- les zones uniformes

## Types de bruit:

- Le bruit impulsionnel (bruit sel et poivre): présence de pixels noirs et blancs répartis au hasard. Raisons: éléments du capteur CCD défaillants, poussières.
- bruit de speckle : présence de grains, en particulier dans images ultrasonores
- bruit électronique, de grenaille, de quantification: souvent modélisé par un bruit gaussien



poivre et sel

- De nombreuses méthodes utilisent le voisinage d'un pixel pour
  - corriger éventuellement sa valeur et éliminer le bruit.
  - rehausser les indices et les rendre mieux détectables
- Les filtres peuvent être:
  - fréquentiel: élimination des hautes fréquences
  - spatiaux:
    - s'exprimer comme une convolution
    - non linéaires (filtre médian)
    - topologique

Certains filtres sont spécifiques à un modèle mathématique de bruit donné (non abordé dans ce cours).

# Part I

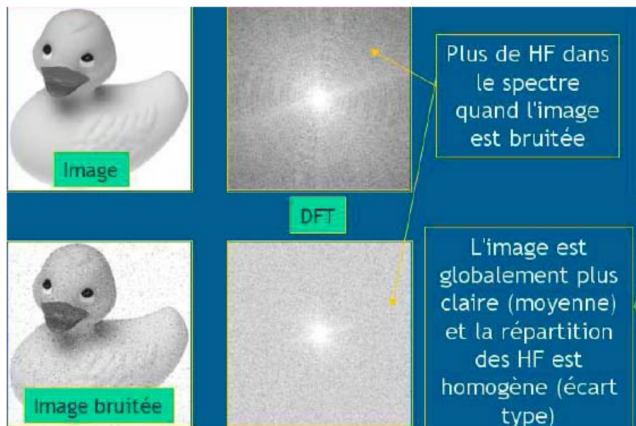
## Les filtres fréquentiels

- Idée générale: le bruit correspond à des hautes fréquences
- On travaille à partir d'une représentation fréquentielle de l'image, souvent la transformée de Fourier de l'image  $f(x, y)$

$$F(u, v) = \int \int f(x, y) e^{-2\pi i(xu + yv)} dx dy$$

- **principe**: appliquer un filtre sur la représentation fréquentielle pour **éliminer les hautes fréquences** puis produire l'image filtrée par transformée de Fourier inverse.

# Le bruit est une haute fréquence



Exemple du filtre passe bas: on ne garde que les basses frquences

- `I=imread('venise.jpg');I=rgb2gray(I);[M,N]=size(I);`
- `F=fftshift(fft2(I)); H0=0;M2=round(M/2); N2=round(N/2);`
- `H0(M2-D0:M2+D0,N2-D0:N2+D0)=1;`
- `G=F.*H0;`
- `g=ifft2(G);`

Tester ce filtre porteFourier sur l'image venise.jpg avec diverses valeurs de D0.

# Filtre fréquentiels: résultats



coupure à 50

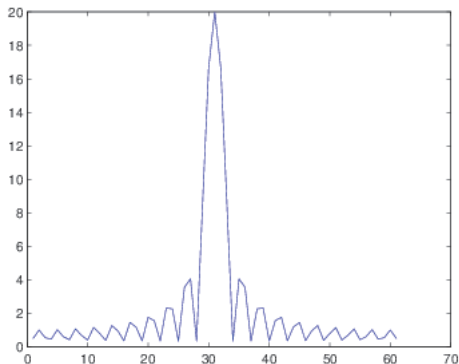
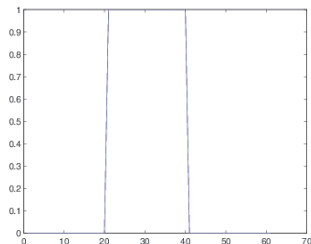


à 100

# Filtre fréquentiels: résultats

Problème: on enlève du bruit mais aussi des détails

**raison:** FFT de la fonction porte: existence de coefficients non nuls pour toutes les fréquences



## Part II

# Filtrage spatial

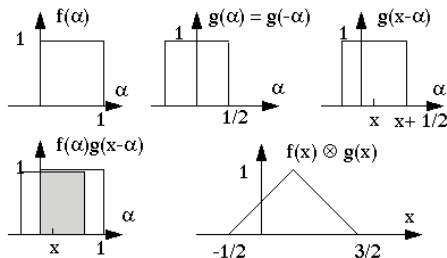
# Filtre linéaires par convolution

**But:** remplacer un pixel par une moyenne (à définir) de ses voisins

$$f * g(x) = \int f(\alpha)g(x - \alpha)d\alpha$$

Dans le domaine discret, soit  $h$  un noyau de taille  $[-k, k] \times [-k, k]$ .  
L'image filtrée est donnée par

$$I_f(u, v) = \sum_{i=-k}^k \sum_{j=-k}^k f(i, j) * I(u - i, v - j)$$



# Filtre linéaires par convolution

Filtre le plus simple: le filtre moyeneur

1	1	1
1	1	1
1	1	1

Implantation:

```
h= 1/3 *ones(1:3,1:3);
```

```
Inew=conv2(double(I),double(h))
```

```
Inew=imfilter(I,h);
```



demie taille1

Flou important



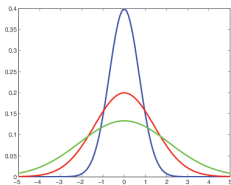
et 2

# Lissage: le filtre Gaussien

- L'opérateur gaussien de moyenne nulle et d'écart type  $\sigma$  est donné en dimension 1 par

$$G_\sigma = \frac{1}{\sqrt{2\pi}\sigma} \exp^{-x^2/2\sigma^2}$$

- la convolution  $u_\sigma = G_\sigma * u$  d'une image  $u$  par une gaussienne  $G_\sigma$  permet de lisser l'image à différentes échelles (initiale, 3,5,10).



# Lissage: le filtre Gaussien



initial

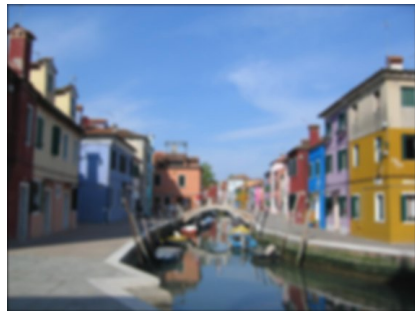
$\sigma = 3$

```
H=fspecial('gaussian',10,3);%  $\sigma = 3$ , taille du filtre 10  
imfilter(I,H)
```

# Lissage: le filtre Gaussien



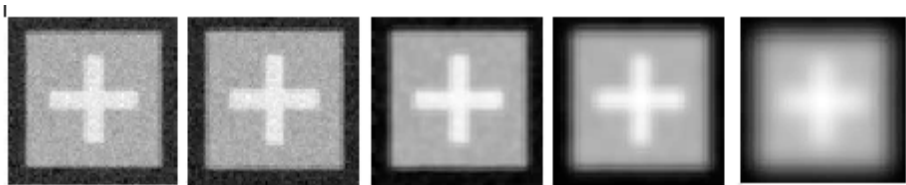
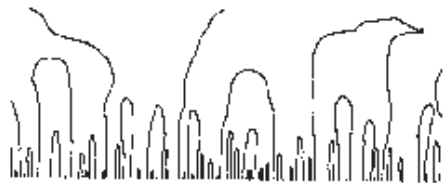
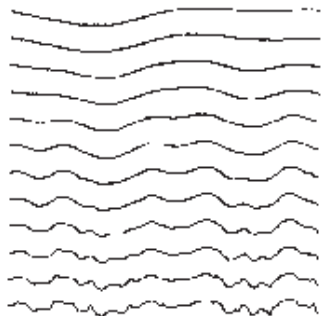
$\sigma = 5$



$\sigma = 10$

# Lissage et extraction de contours

Lisser une image (ici filtre gaussien), entraine une délocalisation des points de contours...



- Constat: les problèmes viennent du fait qu'on lisse de la même manière dans toutes les directions **indépendamment de la structure de l'image**.
- Utiliser des filtres **anisotropes** lissant selon les caractéristiques de l'images
  - filtre bilatéral
  - filtre respectant les contours (Perona Malik)

Voir [Tomasi98]

- **objectif**: préserver les discontinuités et **lisser les zones de photométrie semblable**
- Dans un filtre classique, seule la distance au point est considérée pour pondérer les valeurs:  $\sum_{p \in \text{Voisins}(u)} w(|p - u|) I(p)$
- Dans un filtre bilatéral, on introduit un poids **dépendant de la similarité des niveaux de gris**:

$$\sum_{p \in \text{Voisins}(u)} w_s(|p - u|) w_p(|I(p) - I(u)|) I(p)$$

$$w_p(x) = e^{-x^2/2\sigma_p}, w_s(x) = e^{-x^2/2\sigma_s},$$

# Le filtre bilatéral



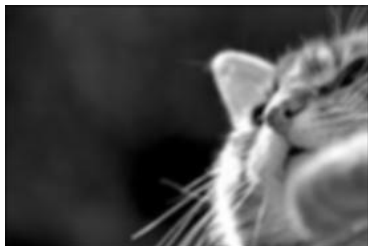
image initiale



bilateral



image initiale



gaussien

# Filtres bilatéraux: effet d'artiste



[Winnemoller, SIGGRAPH 2006]

- Rappels:

$$\Delta u = \frac{\partial^2 u}{\partial x^2} + \frac{\partial^2 u}{\partial y^2}$$
$$\operatorname{div}(u) = \frac{\partial u_x}{\partial x} + \frac{\partial u_y}{\partial y}$$
$$\Delta u = \operatorname{div}(\nabla u)$$

- L'équation de propagation de la chaleur:

$$\frac{\partial u(t, x)}{\partial t} = \Delta u(t, x),$$
$$u(0, x) = u_0(x)$$

- **Propriété fondamentale:**

$I * G_\sigma$  est solution de l'équation de la chaleur à  $t = \sigma^2/2$ .

- en dimension 1,  $\frac{\partial u(t,x)}{\partial t} = \frac{\partial^2 u}{\partial x^2}$  avec la condition aux limites  $u(0, x) = l$
- soit  $\delta t$  le pas de discrétisation.  $\frac{\partial u(t,x)}{\partial t} \approx (u(t + \delta t, x) - u(t, x))/\delta t$
- Discrétisation spatiale avec un pas de 1 (pixel):  
 $\frac{\partial u}{\partial x} \approx u(x + 1) - u(x) \approx u(x) - u(x - 1) \approx (u(x + 1) - u(x - 1))/2$
- Premier pas de temps:

$$(u(\delta t, x) - u(0, x))/\delta t = (u(x + 1) - u(x - 1))/2$$
$$\rightarrow u(\delta t, x) = u(0, x) + \delta t * (u(x + 1) - u(x - 1))/2$$

- itérations suivantes  $u(t + \delta t, x) = u(t, x) + \delta t(u(x + 1) - u(x - 1))/2$

# Filtrage anisotropique: le filtre de Perona-Malik

- Modifier l'équation de la chaleur en n'autorisant la diffusion que lorsque le gradient est faible (pas de contour)

- $$\frac{\partial u}{\partial t} = \Delta u = \operatorname{div}(\nabla u)$$

devient

- $$\frac{\partial u}{\partial t} = \operatorname{div}(c(|\nabla u|)\nabla u)$$

ou  $c$  est une fonction décroissante avec  $c(0) = 1$  et  $\lim_{x \rightarrow \infty} c(x) = 0$ ,  
par exemple  $c(x) = \frac{1}{\sqrt{1+x^2}}$

- si  $c = 1$ , on retrouve l'équation de la chaleur  $\rightarrow$  diffusion,
- si  $c$  est faible, la diffusion est stoppée ce qui **préserve les bords**.

# Filtrage anisotropique: résultats avec Perona-Malik



Initiale



50 it



100 it



Zoom



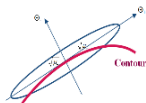
50 it



100 it

# Filtrage anisotropique: améliorations ultérieures

- Le filtre de Perona réduit la diffusion dans les zones à fort gradient mais il ne tient pas compte de la structure locale
- Améliorations ultérieures permettant des lissages directionnels: on lisse tangentiellement au contour mais pas au travers du contour (ex Alvares, Weickert97) Toujours avec un schéma de type EDP.
- utilisation d'un tenseur de diffusion au lieu d'une diffusion scalaire



Tenseur



I originale



filtre Perona



filtre weickert

Définition de la **médiane** :

Soient  $n$  valeurs réelles  $x_1, \dots, x_n$ , avec  $n$  impair. On les ordonne par ordre croissant:  $x_{i_1}, \dots, x_{i_n}$ . La médiane est la valeur  $x_m$  avec  $m = (n + 1)/2$ .

**Prop:** la médiane est robuste à la présence de 50% de données erronées, contrairement à la moyenne.

Filtre médian avec une fenêtre de demie-taille  $h$ :

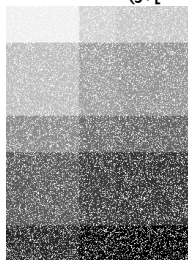
$$I_{new}(i, j) = \text{mediane}_{k \in [-h, h]} I(i - k : i + k, j - k : j + k)$$

## Propriétés du filtre médian

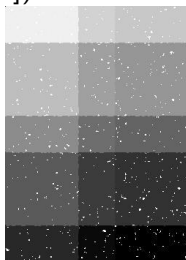
- Il ne crée pas de nouveaux niveaux de gris (ne résoud pas les problèmes de dynamique)
- il génère peu de flou (sauf au niveau de courbes ou coins)
- bien adapté au bruit poivre et sel
- nécessite de classer les valeurs dans chaque voisinage

# Filtre médian: résultats

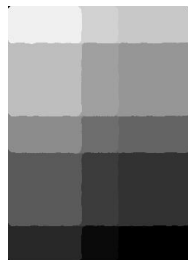
`k=medfilt2(j,[10,10])`



initiales



taille=3



taille = 10

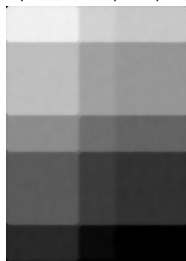
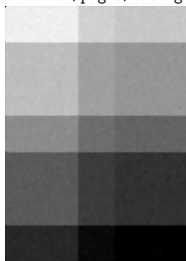
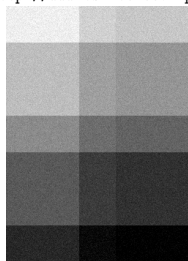
bruit impulsionnel

Q: Pourquoi a-t-on un arrondissement des coins?

# Filtre médian: résultats

`k=medfilt2(j,[10,10]).` exemple tiré de:

[http://www.tsi.telecom-paristech.fr/pages/enseignement/ressources/beti/bruit\\_mult/test-apres.html](http://www.tsi.telecom-paristech.fr/pages/enseignement/ressources/beti/bruit_mult/test-apres.html)

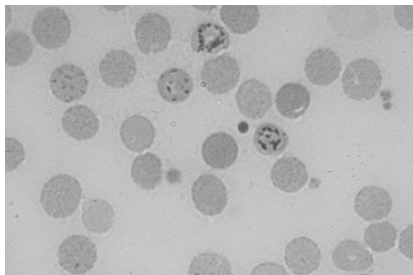


initiales  
bruit gaussien additif

taille=3

taille = 10

# TP: comparer les filtrages

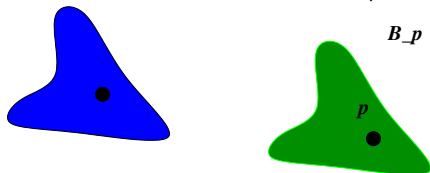


**Objectif:** utiliser l'image cellule.jpg.  
On souhaite obtenir une image binarisée délimitant bien toutes les cellules. Vous pouvez utiliser l'outil *imtool* pour voir les niveaux de gris des cellules

- Testez les filtres bas niveaux disponibles: gaussien, medfilter2, bfilter2 (cartoon). Essayez d'obtenir une image binarisée (im2bw) ne laissant voir que les cellules
- Note 1: utiliser *graythresh* pour définir au mieux le seuil de binarisation (méthode d'Otsu: minimisation de la variance intra classe). Vous pouvez aussi regarder l'histogramme
- Note 2: pensez à placer CodeExterne dans votre path pour voir accès à bfilter2 (prend en entrée des images de type double codées entre 0 et 1).
- Note 3: Mettre des titres au dessus de vos images: figure('Name','mon titre');
- Pourquoi n'arrive-t'on pas à récupérer la cellule la plus claire en haut à droite?
- solution: tp\_cellule

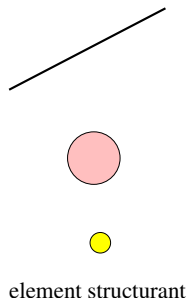
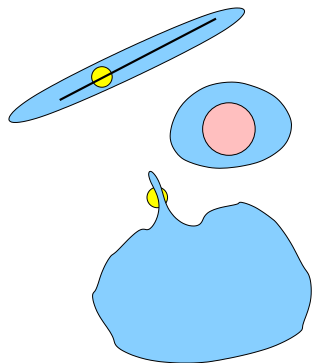
- Techniques de filtrage et d'analyse basée sur des théories ensemblistes et algébriques [Matheron & Serra 65]
- idée de base: comparer localement les formes avec un élément dit structurant qui sert à analyser la forme et permet de filtrer l'image
- La morphomate initialement définie pour des images binaires a été ensuite étendue aux images à niveau de gris

- Structure qui va permettre l'analyse locale de la forme
- souvent de forme régulière (disque, carré, ligne) mais on peut prendre n'importe quoi en fonction de ses besoins
- il est repéré par son origine (ou centre)
- La fenêtre d'analyse associée à un pixel  $p$  sera le translaté de  $B$  positionné sur  $p$ , et est noté  $B_p$ .



# L'analyse morphologique des images

Filtrer les images en les comparant localement à un élément structurant et répondre à des questions telles que l'élément est-il contenu dans la forme?



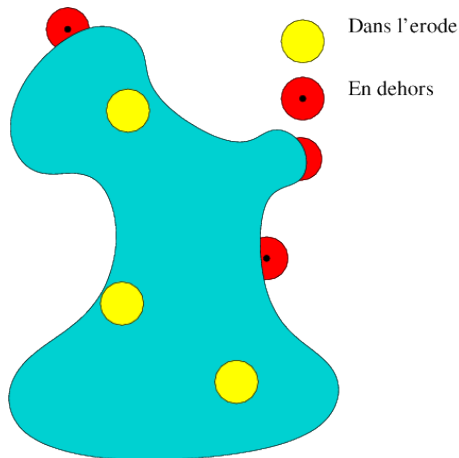
Permet de filtrer selon la taille, la direction...

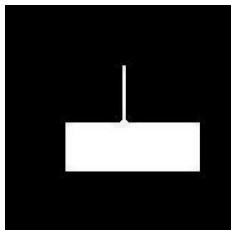
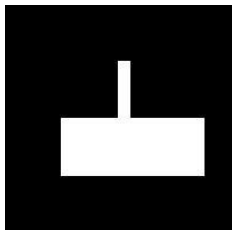
# Erosion morphologique binaire

Soit  $X$  un ensemble et  $B$  l'élément structurant.

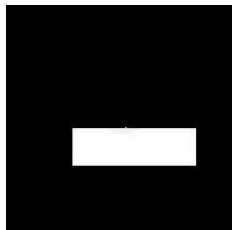
**L'érosion** de  $X$  par  $B$  est l'ensemble des points tels que si  $B$  est centré sur ce point, alors  $B$  est **entièrement** contenu dans  $X$

$$\text{Erode}_B(X) = \{x : B_x \subset X\}$$

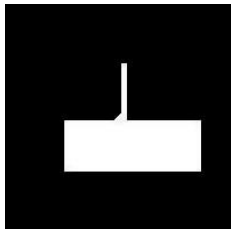




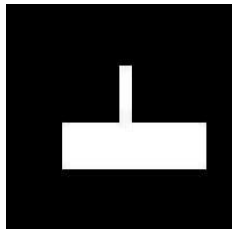
```
imerode(i,strel('disk',5))
```



```
imerode(i,strel('disk',10));
```



```
imerode(i,strel('line',10,45));
```



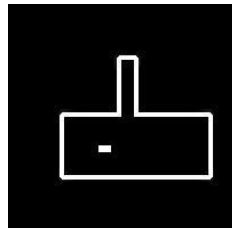
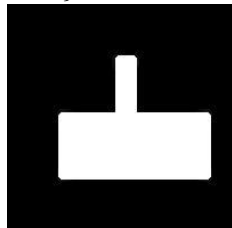
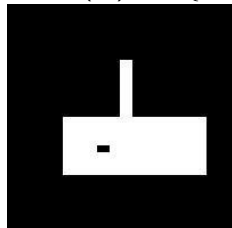
```
imerode(i,strel('line',10,90));
```

L'érosion fait disparaître les petits objets et amincit les formes

# La dilatation binaire

$Dilate_B(X)$  est l'ensemble des points tels que lorsque  $B$  est centré sur un de ces points, il y a une intersection non vide entre  $X$  et  $B$ .

$$Dilate_B(X) = \cup \{B_x, x \in X\}$$



original

`imdilate(i,strel('disk',5))`

difference

La dilatation fait disparaître les petits trous et fait grossir l'objet.

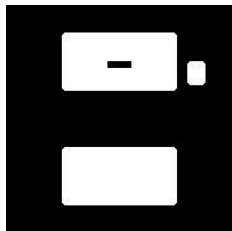
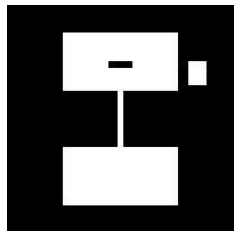
L' **ouverture** par B est la composition de l'érosion par B suivie de la dilatation par B :

$$Ouv_B(X) = Dilate_B(Erode_B(X)),$$

La **fermeture** par B est la composition de la dilatation par B suivie de l'érosion par B :

$$Ferm_B(X) = Erode_B(Dilate_B(X))$$

# Ouverture et fermeture

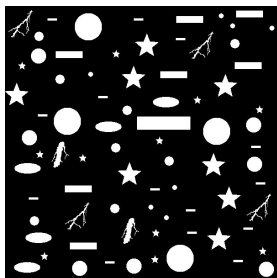


original

`imopen(i,strel('disk',7))`

`imclose(i,strel('disk',7))`

- une ouverture supprime les petites particules, sépare les formes là où elles sont étroites.
- une fermeture fait disparaître les trous de petite taille et connecte les parties proches.



- chargez l'image symboles.jpg
- Quel est le nombre de symboles présents dans cette image (fonction bweuler)?
- éliminer tous les symboles de taille  $<$  à 100 pixels (bwareaopen)
- pour  $i = 1 : 3500$ , calculer le nombre  $N(i)$  de pixels appartenant à une structure de taille  $> i$ . Visualiser cette courbe (plot)
- en déduire un moyen d'afficher une image ne contenant qu'un seul type de symbole.
- solution: tpSymbole

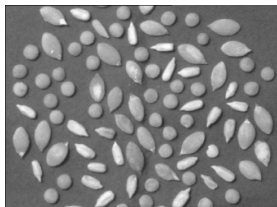


Image tirée de

<http://www.irit.fr/Philippe.Joly/>

- Chargez l'image `triGrain.jpg`
- En considérant l'histogramme de cette image, trouvez un seuil permettant de la binariser correctement (fonction `im2bw`).
- utiliser un opérateur morphologique pour enlever le bruit restant.
- Trois types de grains composent cette image. Comment isoler les grosses graines?
- Proposer une méthode permettant de distinguer les 2 types de graines les plus petites. Quelles sont les difficultés?
- NB: vous pouvez utiliser `imtool` qui permet de faire des mesures sur l'images. La fonction `bweuler` permet de compter le nombre de composantes connexes (et donc de graines) présentes dans l'image.